

---

КАФЕДРА

ОТЧЕТ  
ЗАЩИЩЕН С ОЦЕНКОЙ  
ПРЕПОДАВАТЕЛЬ

---

должность, уч. степень, звание

---

подпись, дата

---

инициалы, фамилия

ОТЧЕТ О ЛАБОРАТОРНОЙ РАБОТЕ №5

Моделирование линейных/нелинейных объектов. Модели управляемых систем. Детерминированный хаос.

по курсу: Компьютерное моделирование

РАБОТУ ВЫПОЛНИЛ

СТУДЕНТ гр. №

---

подпись, дата

---

инициалы, фамилия

Санкт-Петербург 2024

## **1. Цель работы**

Знакомство с элементами синергетического управления применительно к моделям детерминированного хаоса, с принципами организации обратных связей в сложных объектах для достижения режима устойчивости функционирования нелинейного объекта.

## **2. Ход работы**

Часть 1. Ознакомиться со справочными сведениями.

2. Построить графики и фазовые портреты нелинейной модели для устойчивого

и неустойчивого режимов.

3. Разработать программу, реализующую алгоритм управления хаотической

моделью с целью стабилизации объекта в окрестности устойчивого состояния.

4. Получить сравнительные графики управляемой и неуправляемой моделей.

5. Составить и представить преподавателю отчет о работе.

Часть 2.

1. Ознакомиться со справочными сведениями относительно применения дискретных/непрерывных блоков Simulink.

2. 3. 4. Построить модель системы автоматического регулирования в Simulink.

В отчет включить схему и скриншоты окон настроек каждого блока.

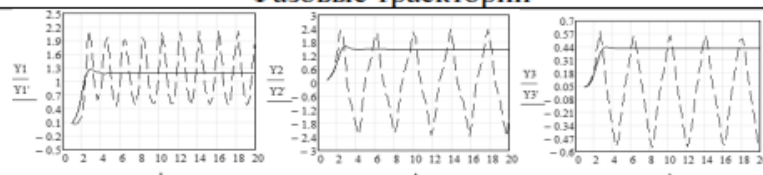
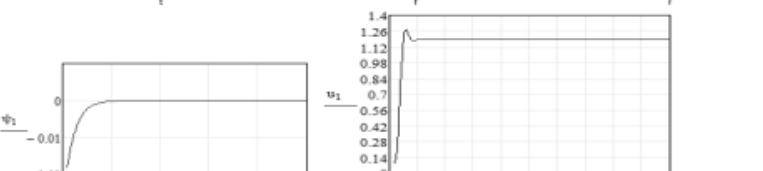
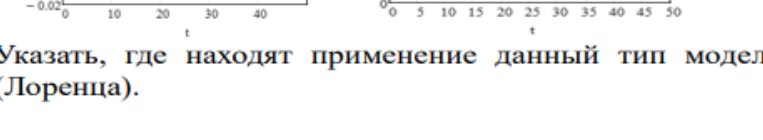
Описать принцип работы блока Линейные системы.

5. Представить необходимые графики.

### 3. Задание:

#### Вариант 14 - Блок заданий 3

##### Блок заданий 3.

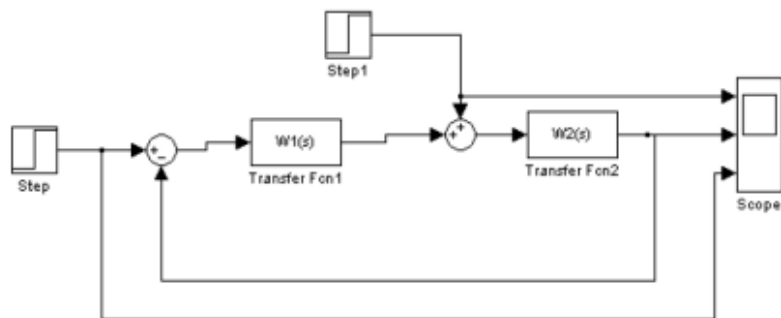
Описание объекта		Макропеременная. Управление.	
$\frac{dY_1}{dt} = \alpha Y_2 Y_3 - \gamma Y_1 + u_1;$ $\frac{dY_2}{dt} = \mu(Y_2 + Y_3) - \beta Y_1 Y_3;$ $\frac{dY_3}{dt} = \delta Y_2 - \lambda Y_3,$		$\psi_1(t) = Y_1 - \rho Y_2,$ $u_1 = \gamma Y_1 - \alpha Y_2 Y_3 + \rho(\mu(Y_2 + Y_3) - \beta Y_1 Y_3) - \frac{\psi_1(t)}{T_1}.$ <p>Получить систему управления. Выбором параметра <math>T_1</math> можно разные формы переходных процессов.</p>	
Построить траектории с управлением и без (графики $Y_i(t), i=1,2,3$ от времени), график управления, макропеременной и фазовый портрет.			
Вариант		Фазовые траектории	
11	$\alpha=5, \beta=8,$ $\gamma=1.9, \mu=2.1,$ $\lambda=3.16, \delta=0.9$		
12	$\alpha=4, \beta=9,$ $\gamma=1.7, \mu=2.2,$ $\lambda=3.12, \delta=0.7$		
13	$\alpha=3, \beta=8,$ $\gamma=1.8, \mu=2.4,$ $\lambda=3.10, \delta=0.7$		
14	$\alpha=2, \beta=6,$ $\gamma=1.5, \mu=2.0,$ $\lambda=3.16, \delta=0.9$	Указать, где находят применение данный тип модели (Лоренца).	
15	$\alpha=5, \beta=6,$ $\gamma=1.3, \mu=2.5,$ $\lambda=3.16, \delta=0.9$		

##### Часть 2.

###### 1. Собрать схему.

Вариант 13	Вариант 14	Вариант 15	Вариант 16	Вариант 17
$W_1(s) \sim 100;$ $W_2(s) \sim 1/(0.1s^2 + s + 1)$	$W_1(s) \sim 20;$ $W_2(s) \sim 0.3/(3s^2 + s + 1)$	$W_1(s) \sim 40;$ $W_2(s) \sim 0.4/(2s^2 + s + 1)$	$W_1(s) \sim 35;$ $W_2(s) \sim 1/(6s^2 + 2s + 1)$	$W_1(s) \sim 60;$ $W_2(s) \sim 1/(0.04s^2 + 0.1s + 1)$

2. Установить возмущение равным нулю и снять переходную характеристику по задающему воздействию. По полученному графику оценить показатели качества системы. Изменить значение статического коэффициента  $W_1(s)$  в 10 раз в большую и меньшую стороны и для каждого измененного значения получить переходные характеристики и оценки показателей качества. Сравнить.



### Часть 1.

1. Ознакомиться со справочными сведениями.
2. Построить графики и фазовые портреты нелинейной модели для устойчивого и неустойчивого режимов.
3. Разработать программу, реализующую алгоритм управления хаотической моделью с целью стабилизации объекта в окрестности устойчивого состояния.
4. Получить сравнительные графики управляемой и неуправляемой моделей.
5. Составить и представить преподавателю отчет о работе.

### Часть 2.

1. Ознакомиться со справочными сведениями относительно применения дискретных/непрерывных блоков Simulink.
2. Построить модель системы автоматического регулирования в Simulink.
3. В отчет включить схему и скриншоты окон настроек каждого блока.
4. Описать принцип работы блока Линейные системы.
5. Представить необходимые графики.

#### 4. Выполнение задания:

В данной лабораторной работе мы занимаемся выводом и настройкой управления сложной нелинейной динамической модели системы.

Объект модели описывается системой Лоренца.

$$\begin{aligned}\frac{dY_1}{dt} &= \alpha Y_2 Y_3 - \gamma Y_1 + u_1 \\ \frac{dY_2}{dt} &= \mu(Y_2 + Y_3) - \beta Y_1 Y_3 \\ \frac{dY_3}{dt} &= \delta Y_2 - \lambda Y_3\end{aligned}$$

Где:

$Y_1, Y_2, Y_3$  — переменные состояния системы.

$\alpha, \beta, \gamma, \delta, \mu, \lambda$  — параметры системы.

$u$  — управляющее воздействие.

Для нахождения наиболее эффективного управления нужно вывести функцию  $u$ , чтобы целевая переменная модели устремлялась к нулю:

$$\psi_1(t) = Y_1 - \rho Y_2 \rightarrow 0$$

Для этого требуется решить задачу нахождения экстремума функционала целевого признака. Будем делать это через уравнение Эйлера-Лагранжа:

$$\begin{aligned}T\dot{\psi} + \psi &= 0 \\ \Phi(\psi) &= \int_0^\infty (\psi^2 + T^2 \dot{\psi}^2) dt \xrightarrow{u} \min \\ T\dot{\psi}(t) + \psi(t) &= T(Y_1 - \rho Y_2)' + \psi_1 \\ &= T(\alpha Y_2 Y_3 - \gamma Y_1 + u_1 - \rho(\mu(Y_2 + Y_3) - \beta Y_1 Y_3)) + \psi_1 = 0 \\ T(\alpha Y_2 Y_3 - \gamma Y_1 + u_1 - \rho(\mu(Y_2 + Y_3) - \beta Y_1 Y_3)) + \psi_1 &= 0 \\ \Rightarrow u_1 &= \gamma Y_1 - \alpha Y_2 Y_3 + \rho(\mu(Y_2 + Y_3) - \beta Y_1 Y_3) - \psi_1 T^{-1}\end{aligned}$$

#### 4.1. Реализация модели в Simulink.

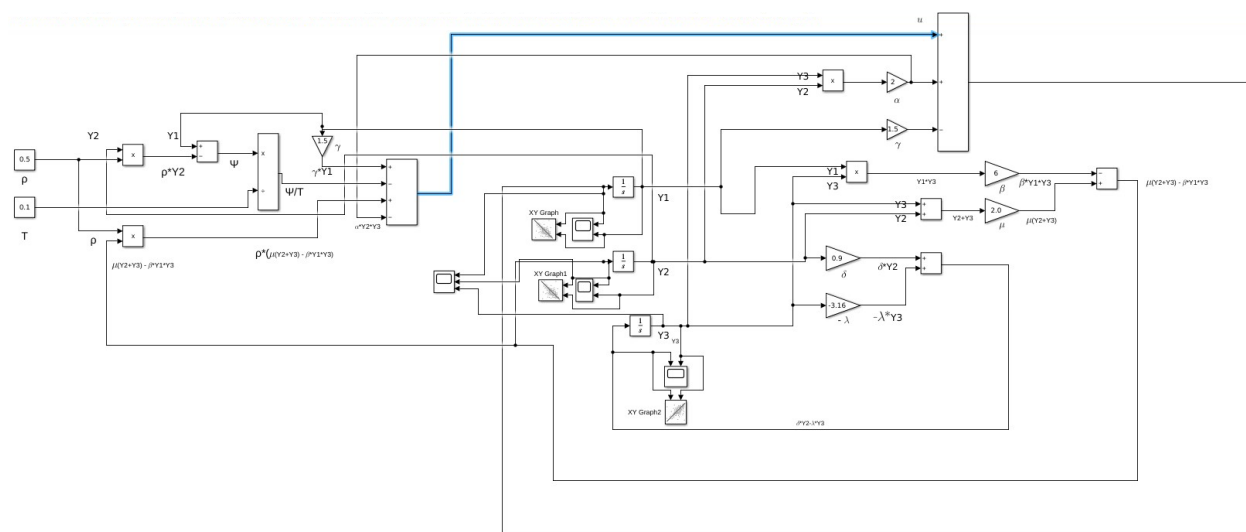


Рисунок 1 – Схема модели

В ходе выполнения работы были построены графики и фазовые портреты модели с помощью схемы, реализованной в MATLAB Simulink.

При заданных по варианту параметрах получаются следующие фазовые траектории и портреты. Портреты для модели с/без управления получались путем подключения/отключения линии блока управления отмеченным  $u$  на схеме.

Параметр  $T$  в выражении для управления  $u$  существенно влияет на динамику системы, определяя её быстродействие и устойчивость.

Малые значения  $T$ : Система демонстрирует быструю реакцию на изменения макропеременной  $\psi$  и оперативно компенсирует отклонения. Однако из-за повышенной чувствительности возможно возникновение колебаний или даже потеря устойчивости.

Большие значения  $T$ : Система становится инертной, что приводит к замедленной реакции, увеличению времени переходного процесса и удлинению времени достижения стабильного состояния

В рамках программы  $T$  эмпирически подобран и равен 0.1,  
 $P$  равен 0.5,

С управлением:

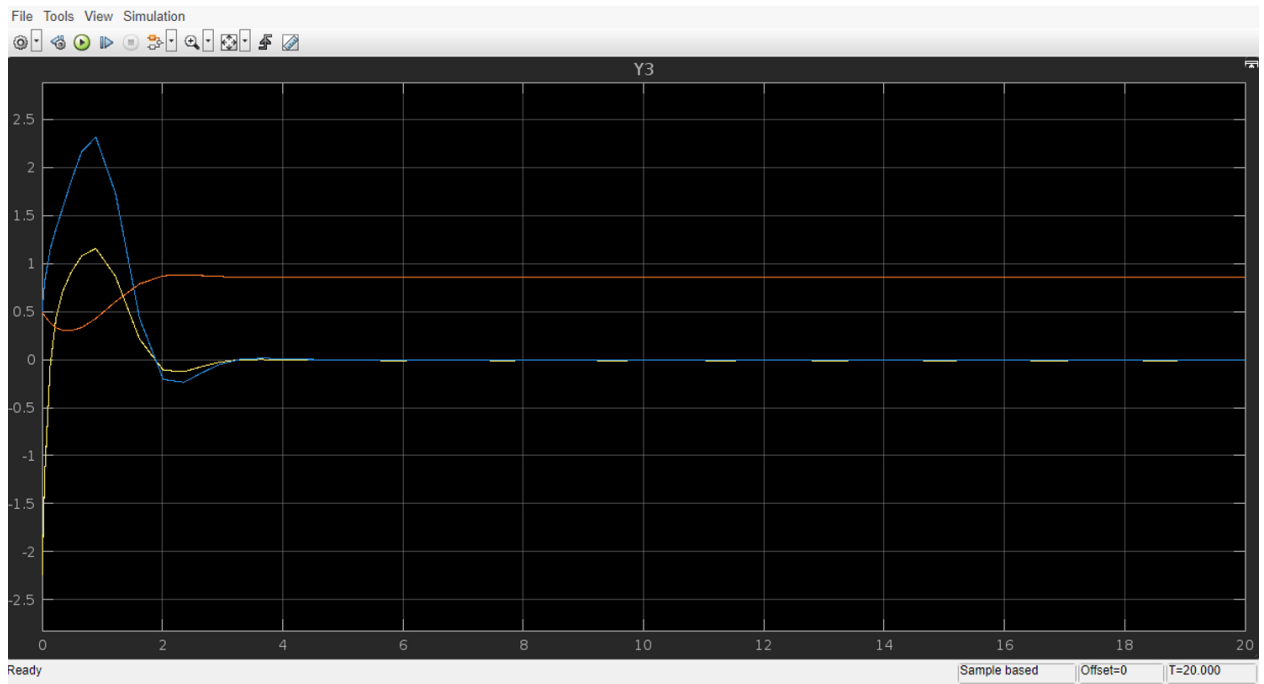


Рисунок 2 – Фазовые траектории  $Y1$   $Y2$   $Y3$

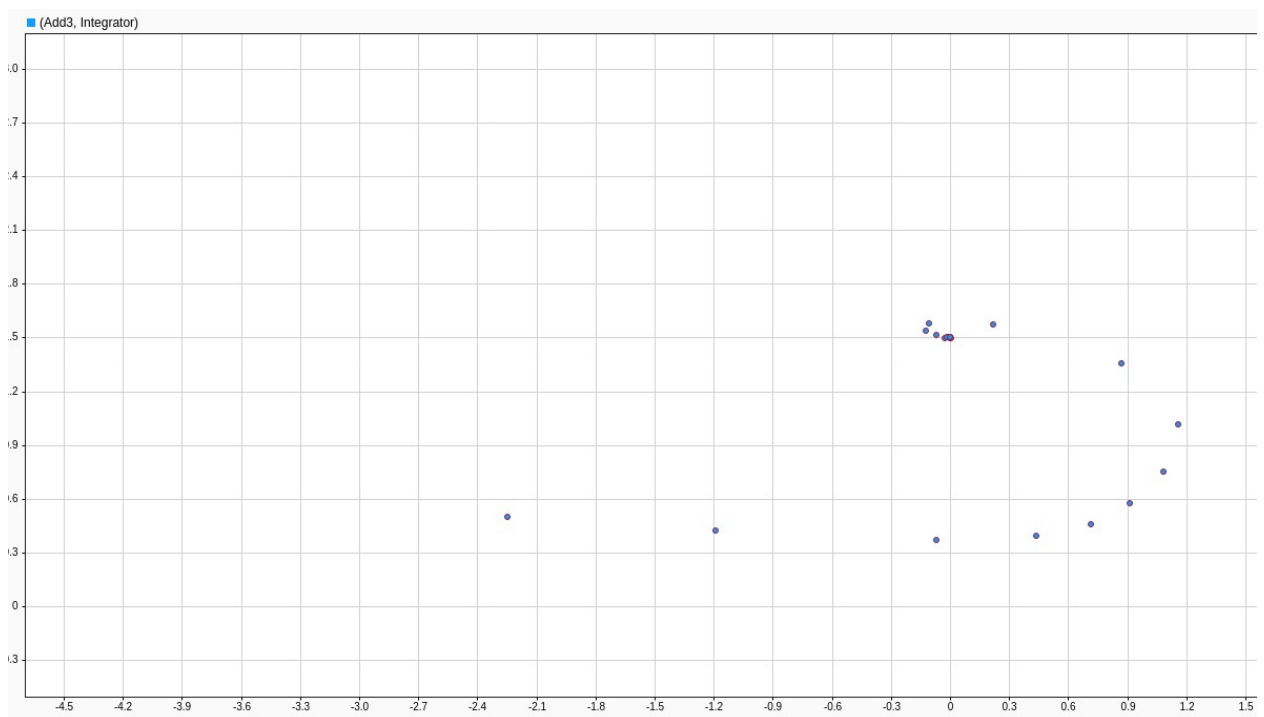


Рисунок 3 – Фазовый портрет

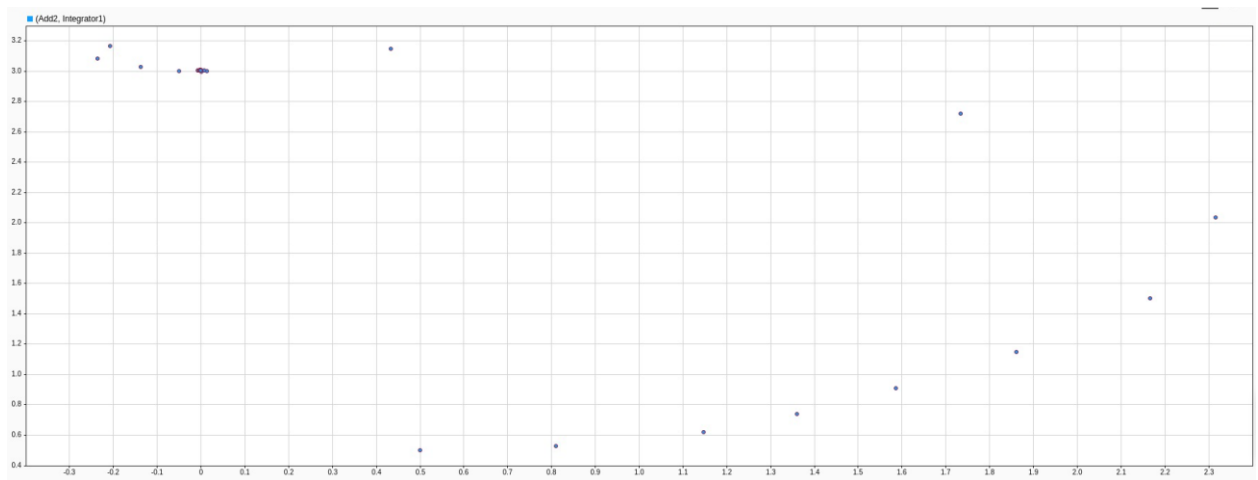


Рисунок 4 – Фазовый портрет

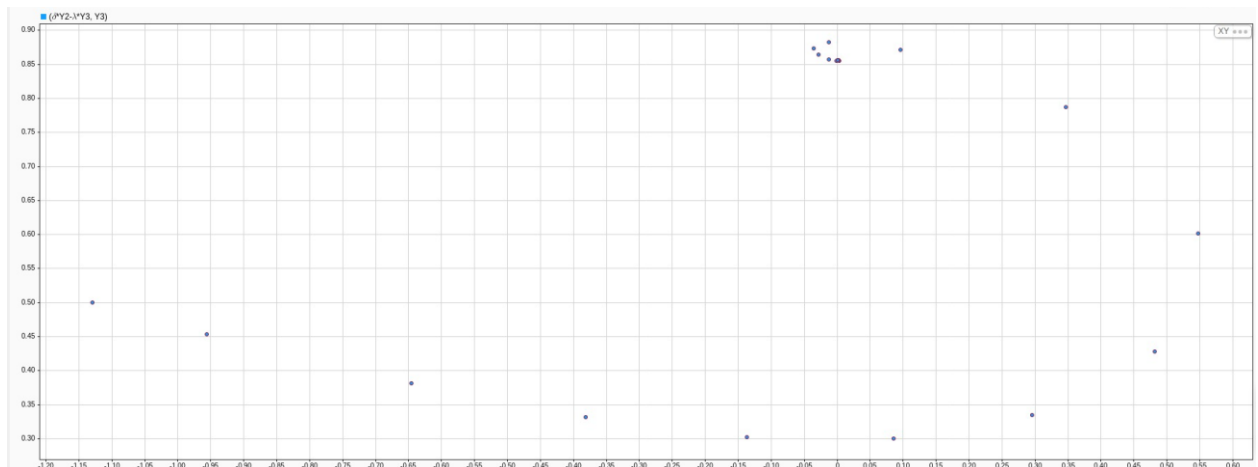


Рисунок 5 – Фазовый портрет



Без управления:

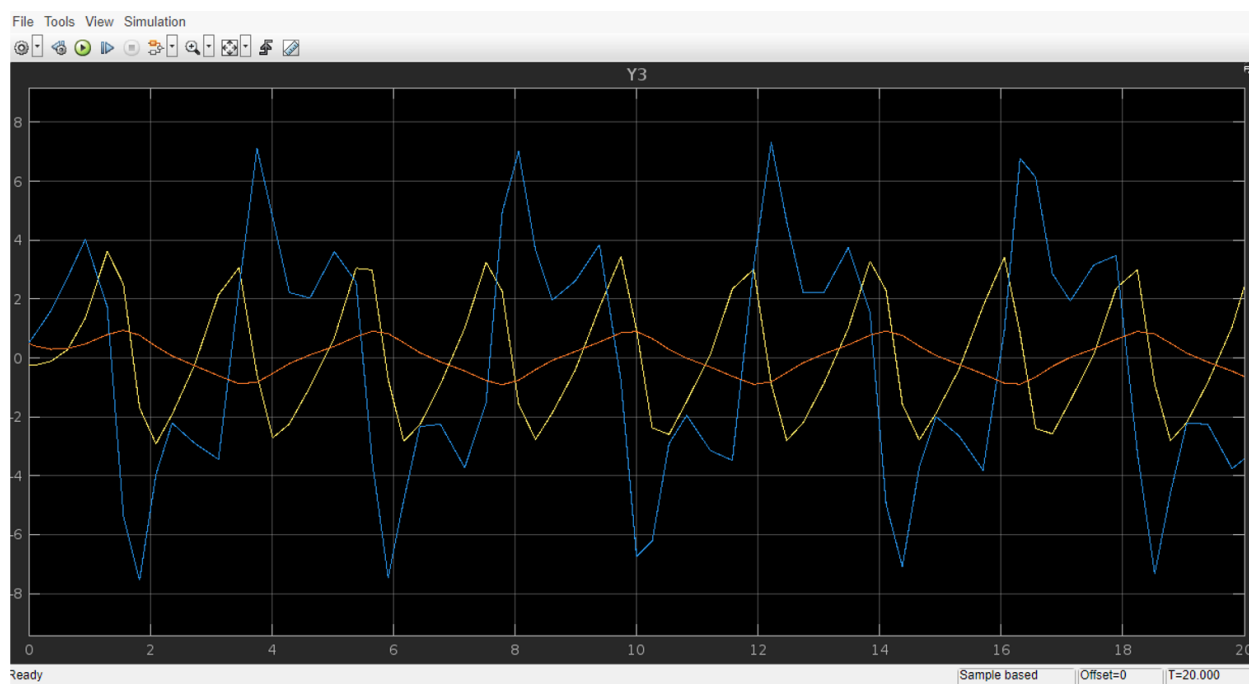


Рисунок 6 – Фазовые траектории  $Y_1$   $Y_2$   $Y_3$

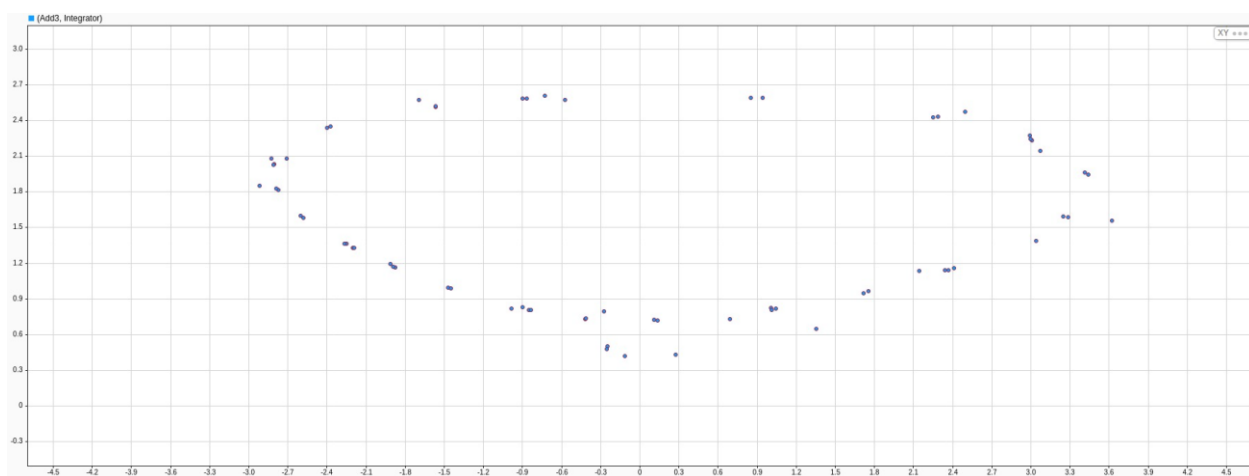


Рисунок 7 – Фазовый портрет

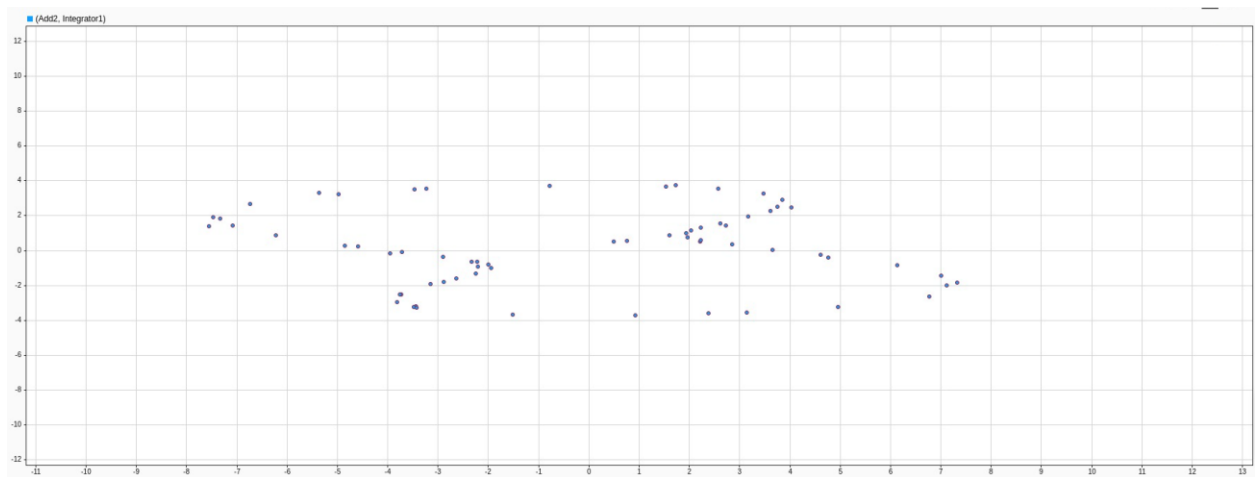


Рисунок 8 – Фазовый портрет

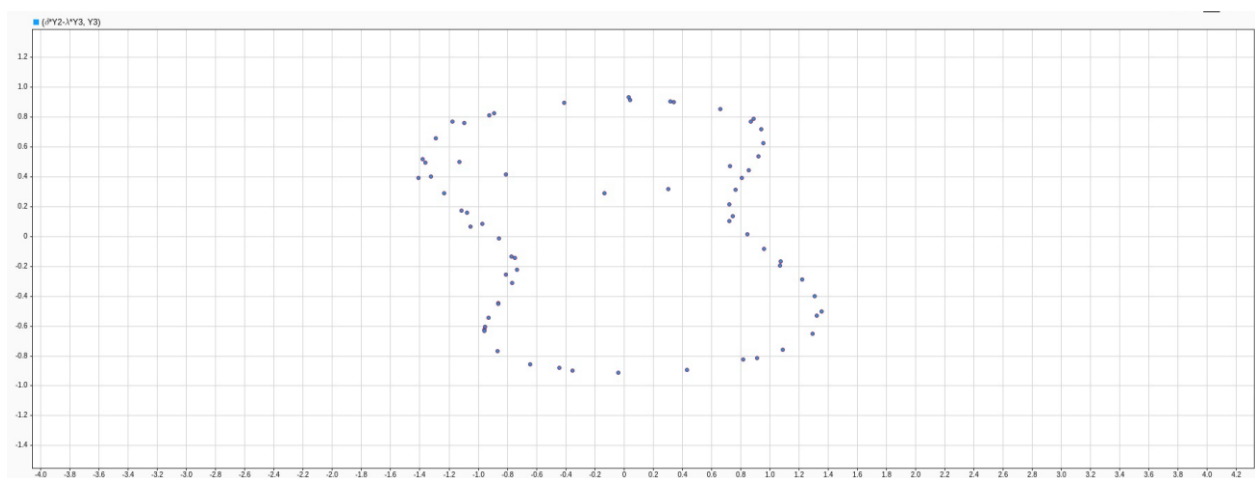


Рисунок 9 – Фазовый портрет

Разработана программа, реализующая алгоритм управления хаотической моделью.

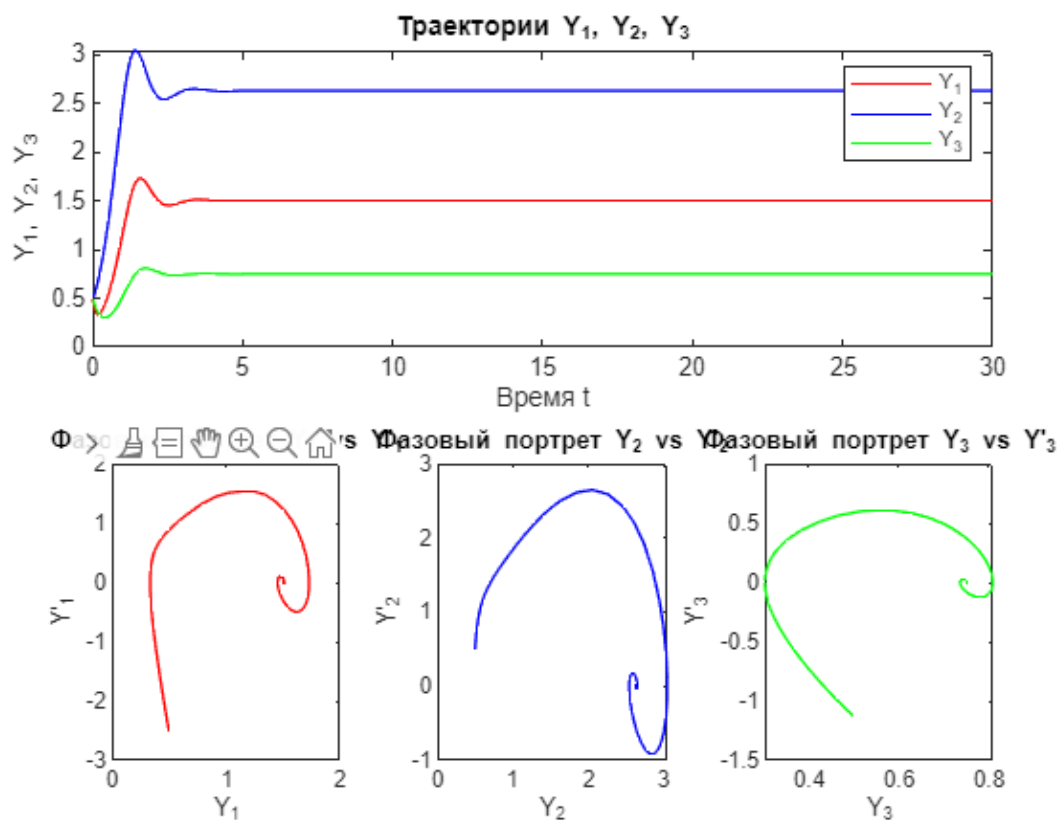


Рисунок 10 – Траектория и фазовый портрет

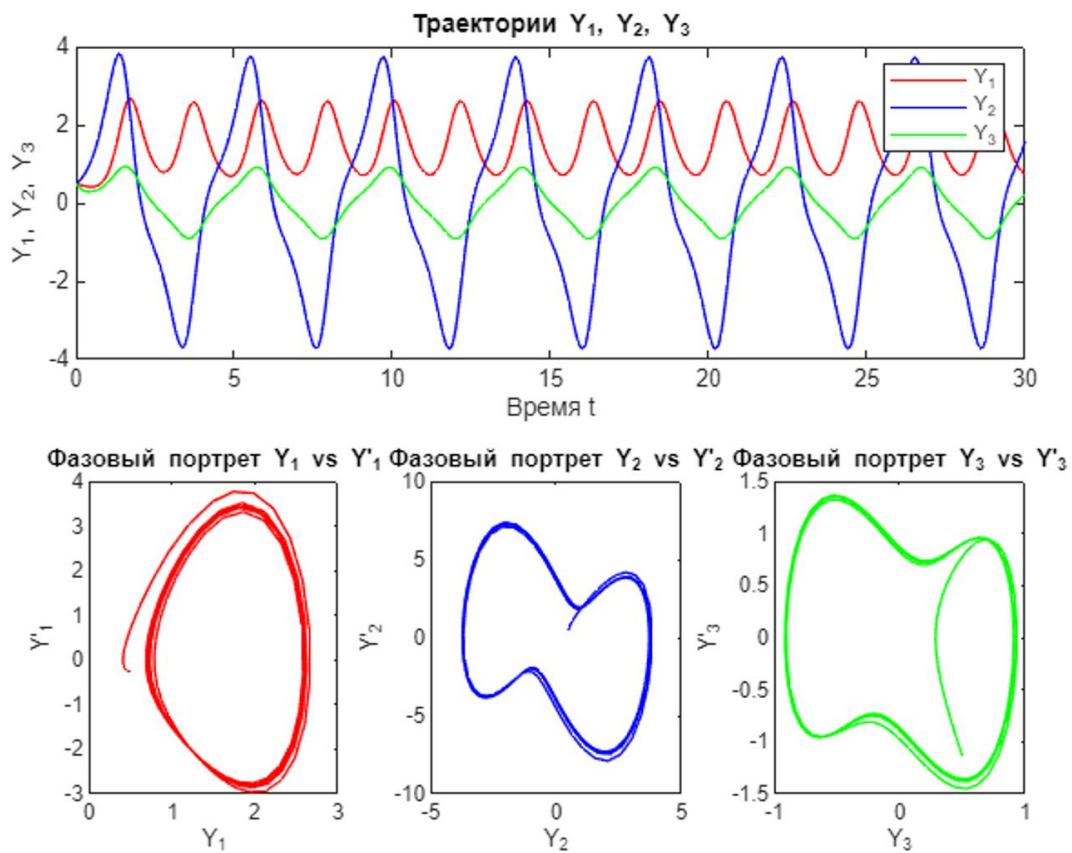


Рисунок 11 – Траектория и фазовый портрет

## 4.2. Реализация автоуправления в Simulink.

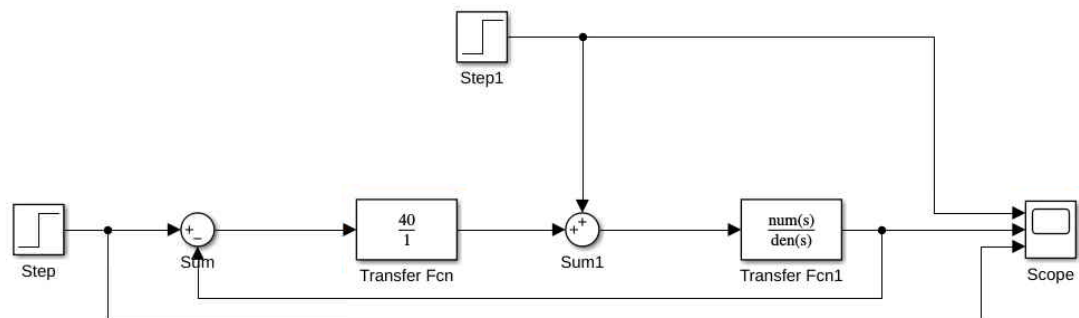


Рисунок 12 – Схема

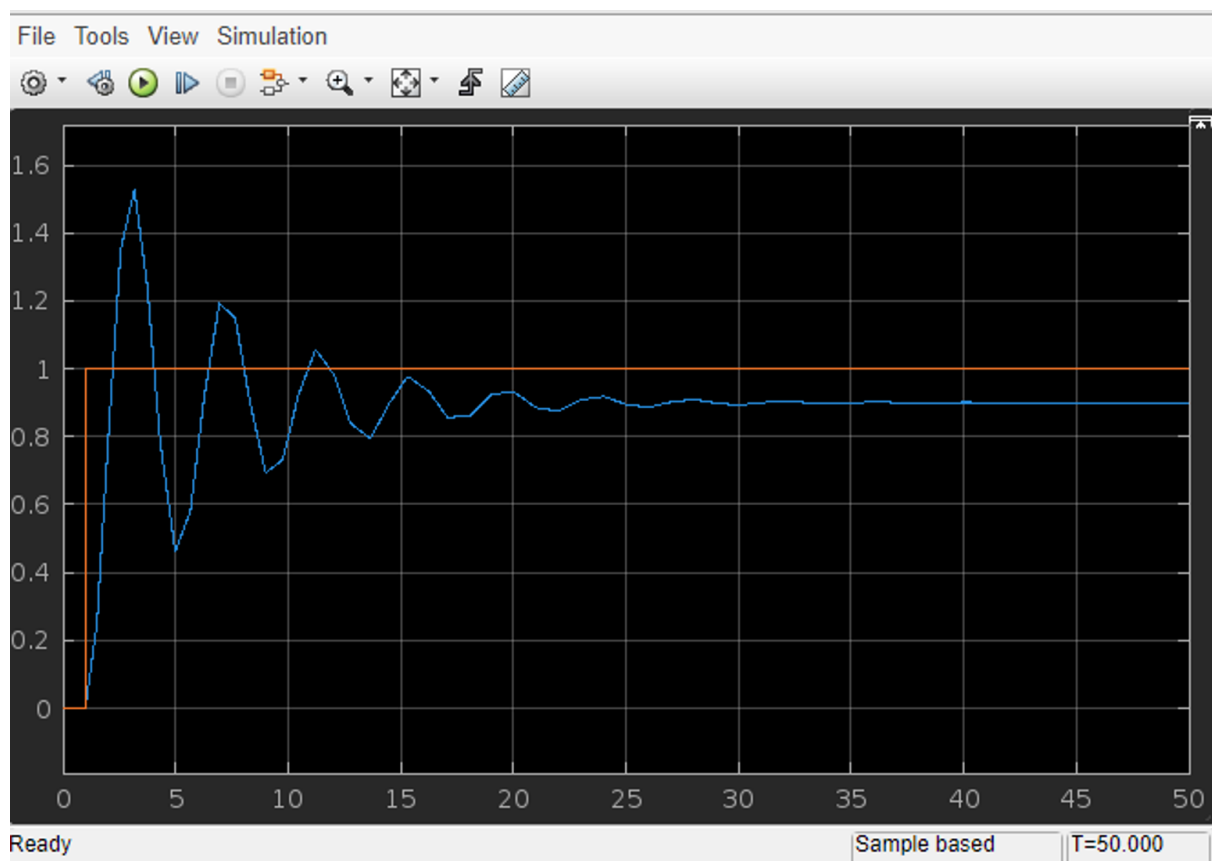


Рисунок 13 – Фазовая траектория

Значение перерегулирования довольно большое:

$$\sigma \approx \frac{1,57 - 0,9}{0,9} * 100\% \approx 67\%$$

Согласно заданию, убираем возмущение.

Система быстро справляется с поступающим возмущением, поэтому после его отключения не сильно изменяется получаемый график. Однако, если бы возмущение было большим, то после его отключения отклик системы стал бы более стабильным, амплитуда колебаний и перерегулирование снизились, а установившееся значение, достигалось быстрее.

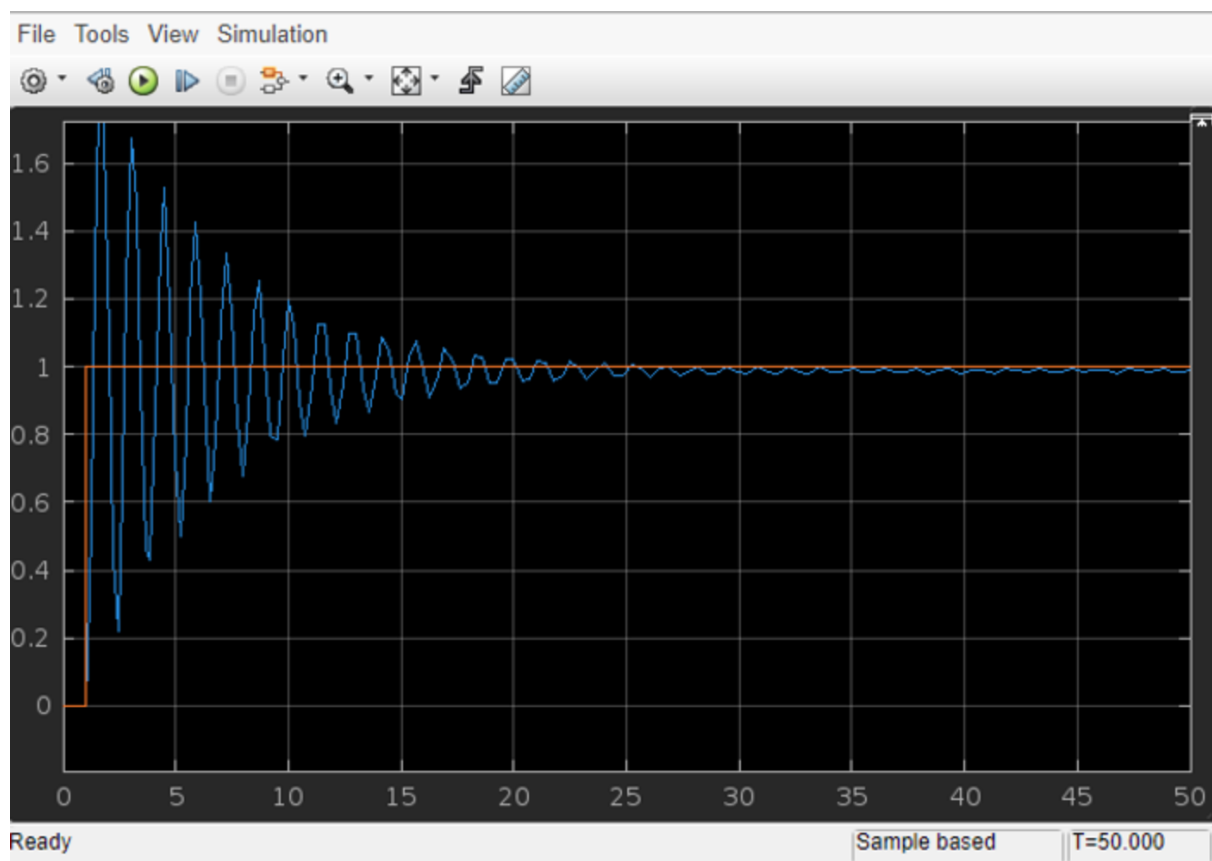


Рисунок 14 – Фазовая траектория

Изменяем значение статического коэффициента  $W_1(s)$  на 200 - в 10 раз больше. Значение перерегулирования очень велико:

$$\sigma \approx \frac{1,6 - 1}{1} * 100\% \approx 60\%$$

Значительное значение коэффициента  $W_1(s)$  вызывает высокую амплитуду колебаний на начальном этапе, при этом колебания устраниаются медленно, хотя их амплитуда постепенно снижается до достижения стационарного состояния. Увеличение коэффициента  $W_1(s)$  также повышает частоту и амплитуду колебаний, что приводит к более резкому переходному процессу.

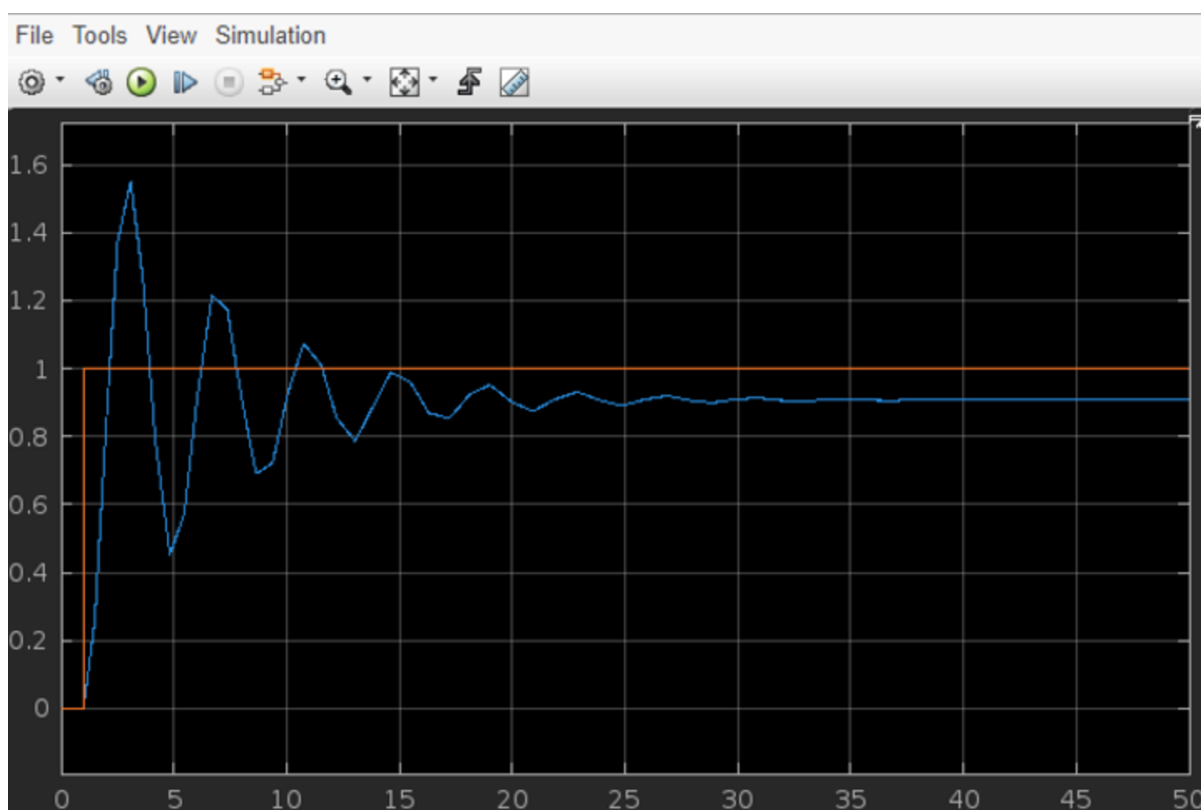


Рисунок 15 – Фазовая траектория

Изменяем значение статического коэффициента  $W_1(s)$  на 2 - в 10 раз меньше. Значение перерегулирования значительно ниже, чем у предыдущих вариантов:

$$\sigma \approx \frac{1,2 - 0,75}{0,58} * 100\% \approx 45\%$$

Небольшое значение коэффициента  $W_1(s)$  обеспечивает мягкий и быстрый переходный процесс, позволяя системе быстро достичь стационарного состояния с минимальными колебаниями. При этом повышается устойчивость системы и снижается вероятность возникновения высокоамплитудных колебаний.

## 5. Вывод

В ходе выполнения лабораторной работы были применены элементами синергетического управления к моделям детерминированного хаоса.

В первой части задания было проанализировано поведение системы при изменении параметров уравнений, которое варьировалось от устойчивого до пограничного устойчивого в зависимости от значений параметров.

- Влияние параметра  $T$ :

При слишком большом значении ( $T \geq 100$ ) система становится инертной и реагирует с задержкой, что может быть полезно при медленных изменениях. С другой стороны, слишком малое значение ( $T \leq 0.001$ ) вызывает мгновенную реакцию системы, но с чрезмерной интенсивностью, что приводит к эффекту перерегулирования, когда управление становится источником неустойчивости.

Оптимальное значение  $T$  должно быть балансом между быстротой реакции и устойчивостью.

Во второй части задания, была работа с автоуправлением. Было проведено эмпирическое исследование. После отключения источника возмущения, система чуть быстрее достигала стационарного состояния.

- Коэффициент  $W_1(s)$  влиял на амплитуду и частоту колебаний в переходном процессе:

При увеличении  $W_1(s)$  до 200 система становилась более резонансной с высокими амплитудами и затяжными переходными процессами

При уменьшении  $W_1(s)$  до 2 снижало резонанс и повышало устойчивость, обеспечивая более быстрый выход на стационарное состояние.

Качество систем оценивалось по графику и перерегулированию.

Наилучшие показатели продемонстрировала система с самым малым коэффициентом  $W_1(s)=5$ :  $\sigma \approx (1,2-0,75)/0,58 * 100\% \approx 45\%$ , при нём система быстрее достигала стационарного состояния.



## ПРИЛОЖЕНИЕ

### Листинг программы для 1-го пункта задания

```
% Параметры системы
alpha = 2;
beta = 6;
gamma = 1.5;
mu = 2.0;
lambda = 3.16;
delta = 0.9;
T1 = 0.1;
rho = 0.5;

% Управляющее воздействие
control = @(Y1, Y2, Y3) Y1 - rho * Y2 - (Y1 - rho * Y2) / T1;

% Система дифференциальных уравнений с управлением
dynamics = @(t, Y) [
    alpha * Y(2) * Y(3) - gamma * Y(1) + control(Y(1), Y(2), Y(3));
    mu * (Y(2) + Y(3)) - beta * Y(1) * Y(3);
    delta * Y(2) - lambda * Y(3)
];

% Система дифференциальных уравнений без управления
dynamics = @(t, Y) [
    alpha * Y(2) * Y(3) - gamma * Y(1);
    mu * (Y(2) + Y(3)) - beta * Y(1) * Y(3);
    delta * Y(2) - lambda * Y(3)
];

% Начальные условия и временной интервал
Y0 = [0.5; 0.5; 0.5];
tspan = [0 30];

% Решение системы
[t, Y] = ode45(dynamics, tspan, Y0);

% Рассчёт производных
```

```

Y_dot = zeros(size(Y));
for i = 1:length(t)
    Y_dot(i, :) = dynamics(t(i), Y(i, :))';
end

% Построение траекторий и фазовых портретов
figure;

```

```

% Траектории Y1, Y2, Y3 от времени
subplot(2, 3, [1, 2, 3]);
plot(t, Y(:, 1), 'r', t, Y(:, 2), 'b', t, Y(:, 3), 'g');
xlabel('Время t');
ylabel('Y_1, Y_2, Y_3');
legend('Y_1', 'Y_2', 'Y_3');
title('Траектории Y_1, Y_2, Y_3');

```

```

% Фазовый портрет Y1 vs Y1'
subplot(2, 3, 4);
plot(Y(:, 1), Y_dot(:, 1), 'r');
xlabel('Y_1'); ylabel('Y_1');
title('Фазовый портрет Y_1 vs Y_1');

```

```

% Фазовый портрет Y2 vs Y2'
subplot(2, 3, 5);
plot(Y(:, 2), Y_dot(:, 2), 'b');
xlabel('Y_2'); ylabel('Y_2');
title('Фазовый портрет Y_2 vs Y_2');

```

```

% Фазовый портрет Y3 vs Y3'
subplot(2, 3, 6);
plot(Y(:, 3), Y_dot(:, 3), 'g');
xlabel('Y_3'); ylabel('Y_3');
title('Фазовый портрет Y_3 vs Y_3');

```